

ارزیابی رفتار دیوار برشی فولادی با بازشو تقویت شده

محمدعلی پوخورداری* (استاد)

دانشکده مهندسی عمران، دانشگاه علم و صنعت ایران

سید علی صغری حسینزاده (استادیار)

دانشکده فنی و مهندسی، دانشگاه گاسن

مهدي صبيقي (دانشجوی دکtor)

دانشکده مهندسی عمران، دانشگاه علم و صنعت ایران

در این پژوهش به بررسی تأثیر بازشوهاست قویت شده در مقاومت سختی اولیه، شکل پذیری و ظرفیت جذب از دیوارهای برشی فولادی پرداخته شده است. با هدف کاهش تعداد اعضاء تقویتی در لبه بازشوها و سرفه اقتصادی بیشتر بازشوها در کل ارتفاع طبقه فرض شده است. در مطالعات اثر نسبت طول دهانه به ارتفاع طبقه مدل‌ها و مشخصات بازشوها (طول و موقعیت بازشو) در نظر گرفته شده است. تابع شان می‌دهد که در نتیجه‌ی ورود بازشو، مقاومت ورق مناسب با کاهش در سطح مقطع آن کاهش می‌یابد. در صورتی که بدليل حضور المان‌های تقویتی به مقاومت قاب هموار افزوده می‌شود. در نتیجه، مقاومت کل سیستم بسته به موقعیت و طول بازشو می‌تواند کاهش یا افزایش یابد. سختی و شکل پذیری سیستم‌ها نیز هموار با ورود بازشو کاهش می‌یابد، اما در صورتی که ابعاد بازشو قابل توجه نباشد، ظرفیت جذب از دیواری در سیستم می‌تواند بدون تغییر یا افزایش همراه باشد.

barkhordar@iust.ac.ir
ahosseinzade@gmail.com
mehdiseddighi@civileng.iust.ac.ir

وازگان کلیدی: دیوارهای برشی فولادی با بازشو، المان مرزی، مقاومت نهایی، سختی، شکل پذیری.

۱. مقدمه

در دهه‌های اخیر، استفاده از سیستم دیوار برشی فولادی (SPSW)^۱ به عنوان سیستم مقاوم در مقابل بارهای جانبی مورد توجه پژوهشگران در کشورهای مختلف جهان قرار گرفته است. این سیستم از ورق فولادی ساخت شده یا نازک بدون سختکنده، که با قاب فولادی محاط شده، تشکیل شده است. در مقایسه با سایر سیستم‌های باربر جانبی متناول، این سیستم مزایای قابل توجهی از نظر اقتصادی دارد، وزن کم، جذب از دیواری و شکل پذیری بالا و رفتار هیترزیس پایدار دارد. همچنین، از مزایای این سیستم، علاوه بر ساختمان‌های نو، برای مقاوم سازی ساختمان‌های موجود نیز می‌توان بهره برد.

در گذشته، طراحی ورق در سیستم دیوار برشی فولادی به کمانش برشی آن محدود می‌شده است. لذا از ورق‌های نسبتاً ضخیم یا سختکننده و یا بدون آن استفاده می‌شده است. که استفاده از سیستم مذکور را، به ویژه در مطالعه‌ای اخیر نشان رقیب دیوار برشی بن‌آرمه، غیراقتصادی می‌کرد. پژوهش‌ها در سال‌های اخیر نشان داده است که وقوع کمانش برشی در ورق به معنای پایان ظرفیت پاره‌ی سیستم نیست و با توسعه‌ی میدان کششی قطری در ورق، سیستم می‌تواند حتی پس از کمانش ورق نیز همچنان به باربری خود ادامه دهد. استفاده از این لیده (در نظر گرفتن ظرفیت پس از کمانش ورق) در طراحی دیوارهای برشی فولادی ابتدا در آینه‌نامه‌های کانادا

^۱ خوشنده مستول

تاریخ: دریافت ۱۵/۱۱/۱۳۹۲، اصلاحیه ۱۱/۴/۱۳۹۳، پذیرش ۷/۶/۱۳۹۳.

است، و بازشوها برخلاف الگوی در نظر گرفته شده در پژوهش انجام شده در سال ۱۹۹۲^[۱] و به جهت سهولت‌های اجرایی و به کمیته رساندن هزینه‌ها، در کل ارتفاع دیوار فرض شده‌اند. بدین ترتیب، علاوه بر کاهش عملیات جوشکاری بین ورق و اعضاء تقویتی، فقط استفاده از المان‌های تقویتی قائم در اطراف بازشوها ضرورت پیدا می‌کند و نیاز به استفاده از المان‌های تقویتی افقی مرتضع می‌شود. لذا پیش‌بینی می‌شود رفتار سیستم با این الگوی جدید بازشو (که در آن بازشو در کل ارتفاع پانل‌های امتداد دارد) متفاوت از وضعیتی باشد که بازشو فقط در بخشی از ارتفاع پانل امتداد دارد و از هر دو نوع المان تقویتی افقی و قائم در لبه بازشوها استفاده شده است.^[۱] در مطالعات انجام شده، تأثیر نسبت طول دهانه به ارتفاع طبقی مدل‌ها و همچنین، طول و موقعیت بازشوها در رفتار سیستم‌ها لحاظ و رفتار مدل‌های با بازشو نظر نظر مقایسه شده است.

۲. روش مطالعه

۱.۲. مدل‌ها

درین پژوهش، یک مجموعه مدل‌های دیوارهای برشی فولادی یک طبقه با نسبت‌های متغیر طول دهانه به ارتفاع طبقه و شامل بازشوهای مستطیلی با مشخصات مختلف در نظر گرفته شده است. مدل‌های اصلی بدون بازشو از پژوهش انجام شده در سال ۱۹۹۲^[۱] اقتباس شده‌اند؛ که برای سهولت، جزئیات طراحی این مدل‌ها در جدول ۱ دوباره تکرار شده است. طراحی مدل‌های دیوار برشی فولادی مبتنی بر اصول طراحی پرساس ظرفیت و مطابق با دستورالعمل‌های آینینه‌ای طراحی لرزه‌یی آمریکا^[۲] و راهنمای AISC ۳۴۱-۰۵^[۳] و راهنمای Steel Design Guide ۲۰^[۴] در نظر انجام شده است. با توجه به اطلاعات مندرج در جدول ۱، در مدل‌های در نظر گرفته شده، ارتفاع طبقات ثابت ($h = 3/5 \text{ m}$) فرض شده است. همچنین به مظور تمرکزکردن محل تشکیل مفاصل خمیری در دو انتهای تیرها و محدودکردن تقاضای خمیری در ستون‌ها، از اتصال RBS^۵ در دو سمت تیرها استفاده شده است. با هدف انجام مطالعات، بازشوها در کل ارتفاع دیوار و با طول‌های متغیر ($L = 0.9, 1.2, 1.5, 1.8, 2.1, 2.4 \text{ m}$) و در ۴ الگوی با موقعیت بازشو متفاوت بافرض اعمال بار از سمت چپ به راست، بازشو در سمت چپ مجاور با ستون کششی (الگوی SL)؛ بازشو در سمت راست مجاور با ستون فشاری (الگوی SR)؛ دو نیم - بازشو در دو سمت و مجاور با ستون‌های چپ یا کششی، و راست یا فشاری (الگوی SLR)؛ و بازشو در وسط دهانه (الگوی SC) فرض شده‌اند. همچنین به مظور بررسی تأثیر بازشوهای مستطیلی با کاربری درب یا پنجه طول دهانه به ارتفاع طبقه ($2, 1/71, 1/43, 1/14, 1/43, 1/86, 0^{\circ}$) در نظر گرفته شده.

جدول ۱. مشخصات مدل‌های اصلی بدون بازشو.^[۶]

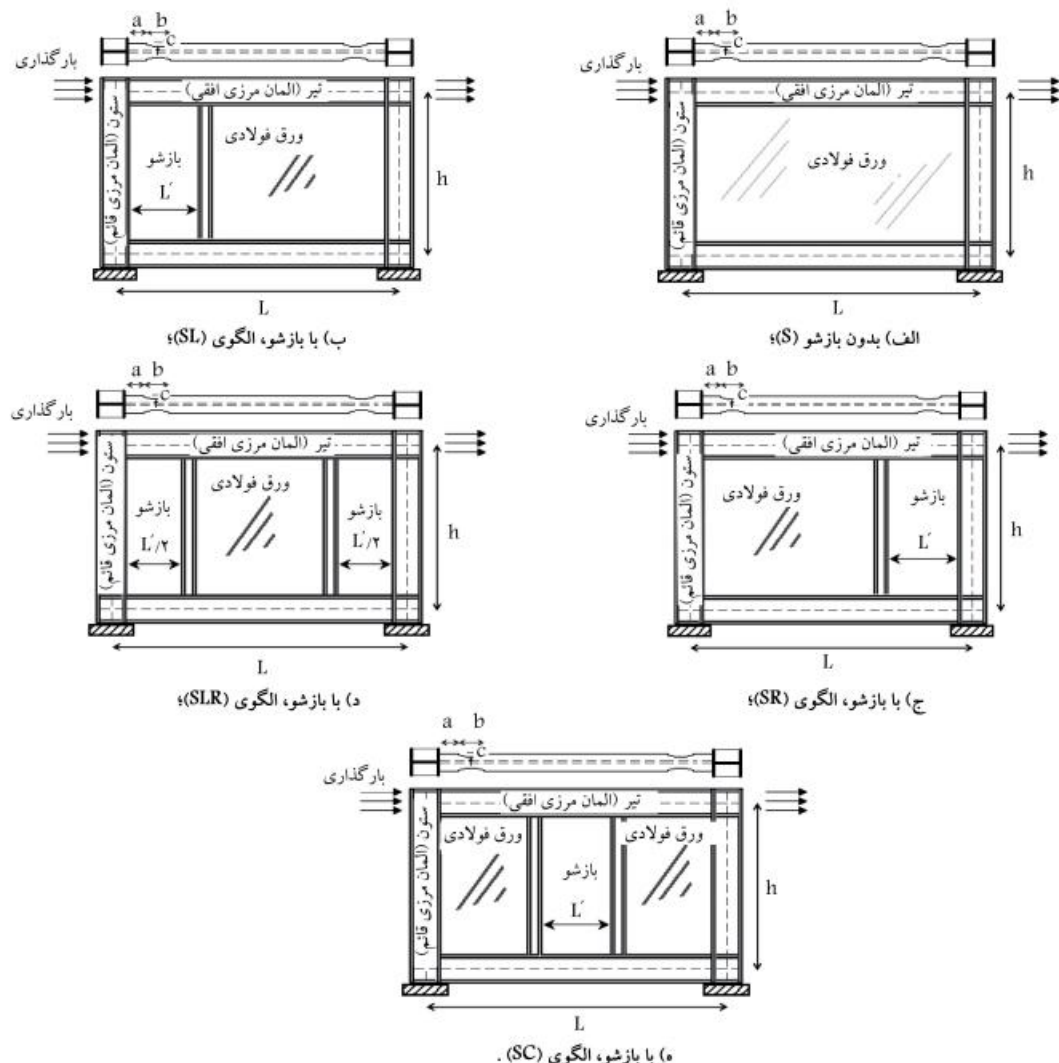
نام مدل	طول دهانه $L (\text{mm})$	ارتفاع طبقه $h (\text{mm})$	نسبت طول دهانه L/h	ضخامت ورق $t_w (\text{mm})$	قطعه تیر قطعه ستون
۱S۳	۳۰۰۰	۳۵۰۰	۰,۸۶	۳,۱۸	W ۱۴ × ۲۸۳
۱S۴	۴۰۰۰	۳۵۰۰	۱,۱۴	۳,۱۸	W ۱۴ × ۳۱۱
۱S۵	۵۰۰۰	۳۵۰۰	۱,۴۳	۳,۱۸	W ۱۴ × ۳۷۰
۱S۶	۶۰۰۰	۳۵۰۰	۱,۷۱	۳,۱۸	W ۱۴ × ۴۵۵
۱S۷	۷۰۰۰	۳۵۰۰	۲,۰۰	۳,۱۸	W ۱۴ × ۵۵۰

حضور بازشوهای درب و پنجه در دیوارهای برشی فولادی، که مخصوصاً با الگوی پیشنهاد شده توسط آینینه‌های AISC ۳۴۱-۰۵^[۳] و Steel Design Guide ۲۰^[۴] تقویت شده باشند،^[۷] پژوهش‌های جامعی که به بررسی آثار این بازشوها در مشخصه‌های رفتاری سیستم پیرازد، بسیار انگشت‌شمار است.

در پژوهشی در سال ۱۹۹۲^[۸] اثر بازشو دایروی مرکزی در رفتار سیکلی پانل‌های برشی فولادی بررسی و براساس نتایج بدست آمده پیشنهاد شده است که سختی و مقاومت پانل‌های با بازشو را می‌توان به صورت محافظه‌کارانه، با اعمال یک ضربه کاهش خطی به سختی و مقاومت پانل بدن بازشو نظیر تخفین زد.^[۹] در پژوهش دیگری در سال ۲۰۰۵^[۱۰]، رفتار ۳ نمونه دیوار برشی فولادی، با مجموعه‌یی منظم از بازشوهای دایروی در ورق، و با بازشوهای تقویت‌شده ربع دایره در دو کنج فوکانی به صورت آزمایشگاهی بررسی شده است.^[۱۱] همچنین در پژوهش دیگری^[۱۲] در پژوهش برای الگوی خاص از بازشوهای دایروی پیشنهاد شده در پژوهش اخیر^[۱۳] رابطه‌یی برای کاهش مقاومت ارائه شده است. برخی پژوهشگران^[۱۴] نیز اثر تغییر ابعاد و محل قرارگیری بازشوهای مستطیلی را بر روی سختی و مقاومت پانل‌های فولادی سخت شده (با مجموعه‌یی از ورق‌های افقی و قائم) و بدون سختمندی به صورت عددی مطالعه کرده و نتایج آن‌ها نشان داده است که موقعیت بازشو مستطیلی اهمیت چندانی در رفتار پانل‌های فولادی سخت شده ندارد، در حالی که در مدل‌های بدون سختمندی، سختی و مقاومت پانل با تغییر موقعیت بازشو به شدت تغییر می‌کند.^[۱۵]

در پژوهش دیگری^[۱۶] نیز رفتار دیوارهای برشی فولادی تارک با بازشوهای مستطیلی بزرگ، که به عنوان درب یا پنجه در ساختمان‌های متعارف استفاده می‌شود، با استفاده از روش اجزاء محدود مورد مطالعه‌یی عددی قرار گرفته است و در آن به جهت جبران اثرات بازشو و مهار و انتقال نیروهای ناشی از حوزه‌یی کشش قطبی ورق به اعضاء مرزی (تیر و ستون‌ها)، مطابق با آینینه‌ای طراحی لرزه‌یی آمریکا^[۱۷] و راهنمای Steel Design Guide ۲۰^[۱۸] در اطراف بازشوها از المان‌های تقویتی افقی و قائم، که تا اعضاء مرزی امتداد داشته، استفاده شده است. اگرچه استفاده از این المان‌های تقویتی اضافی عمل‌آمیت تواند با افزایش حجم مصالح مصرفی و عملیات جوشکاری، منجر به افزایش هزینه‌های ساخت و اجرا شود و به اقتصاد طرح لطمه وارد کند، به هر حال نتایج پژوهش مذکور نشان داده است که موقعیت، هندسه و نوع درب یا پنجه بودن بازشوها به تهابی تأثیر خاصی در رفتار سیستم‌های با بازشو تقویت‌شده ندارد. به علاوه، با ورود بازشو و المان‌های تقویتی پیامون آن به سیستم مقاومت و سختی سیستم افزایش می‌یابد، در حالی که شکل‌بندی آن تاحدی کاهش پیدا می‌کند. نتایج بدست آمده همچنین حاکی از آن بودند که نقش المان‌های تقویتی لبه‌یی بازشوها در افزایش مقاومت قاب می‌تواند بسیار برجسته باشد.

در این پژوهش به بررسی تأثیر بازشوهای مستطیلی با کاربری درب یا پنجه در رفتار دیوارهای برشی فولادی با استفاده از روش المان محدود پرداخته شده



شکل ۱. سیستم‌های دیوار برپی فولادی بدون بازشو و بازشو مستطیلی در کل ارتفاع طبقه.

جهت مطالعه‌ی رفتار غیرخطی مدل‌ها نشان می‌دهد. در تحلیل‌های پوش اور رفتار مبنای اصول طراحی براساس ظرفیت بهگونه‌ی طراحی شده‌اند که امکان گسترش کامل تنש‌های حوزه‌ی کشش در ورق دیوار را فراهم آورند و در عین حال نیز کشسان باقی بمانند. شکل ۱، نمای شماتیک از مدل‌های دیوار برپی فولادی بدون بازشو و بازشو (مشتمل بر ۴ الگوی بازشو مختلف) در نظر گرفته شده در این پژوهش را نشان می‌دهد. جدول ۲، مشخصات مدل‌های بازشو را نشان می‌دهد.

جدول ۳، نیز جزئیات طراحی اتصال RBS را برای تیرهای طبقات مطابق با آینه‌نامه‌ی ۵-۲۰۰۸-AISC [۱۰] ارائه می‌کند.

۳.۲. مدل‌سازی عددی و صحه‌گذاری بر نتایج

نحوی مدل‌سازی، اعمال شریط مرزی و روش بارگذاری قبل از پژوهش انجام شده در سال ۲۰۱۲ [۱۱] ذکر شده است، که در ادامه به اختصار به آن اشاره شده است. به منظور مدل‌سازی و انجام تحلیل‌های خطی کمانشی، غیرخطی پوش اور^۷ و شبه-استاتیکی سیکلی^۸ از نرم‌افزار المان محدود آباکوس^۹ استفاده شده است. در تمامی مدل‌ها، ورق و اعضاء قاب با بهره‌گیری از المان پوسته‌یی^{۱۰} چهارگرهی با خاصیت انتگرال‌گیری کاهش‌یافته (المان S4R) و استفاده از یک مشیندی نسبتاً ریز مدل‌سازی شده‌اند. در تحلیل‌های غیرخطی، اثرات تغییرشکل‌های بزرگ^{۱۱} و غیرخطی هندسی^{۱۲} نیز منظور شده است.

به جهت تسهیل وقوع کمانش در ورق و کمک به توسعه‌ی حوزه‌ی کشش قطرب

۲.۲. مشخصات مکانیکی مصالح

برای مصالح مصرفی در المان‌های مرزی (تیر و ستون‌ها) و تقویتی لبه‌ی بازشوها از فولاد رده ASTM-A572 (با تنش تسلیم ۳۸۵ MPa) و برای ورق از فولاد رده ASTM-A36 (با تنش تسلیم ۳۲۷/۶ MPa) استفاده شده است. مدل کشسانی و نسبت پواسون فولادهای مصرفی به ترتیب برابر با ۰/۳ و ۰/۲۰ فرض شده است. شکل ۲، دیاگرام‌های تنش-کرنش مربوط به هر رده از فولاد را

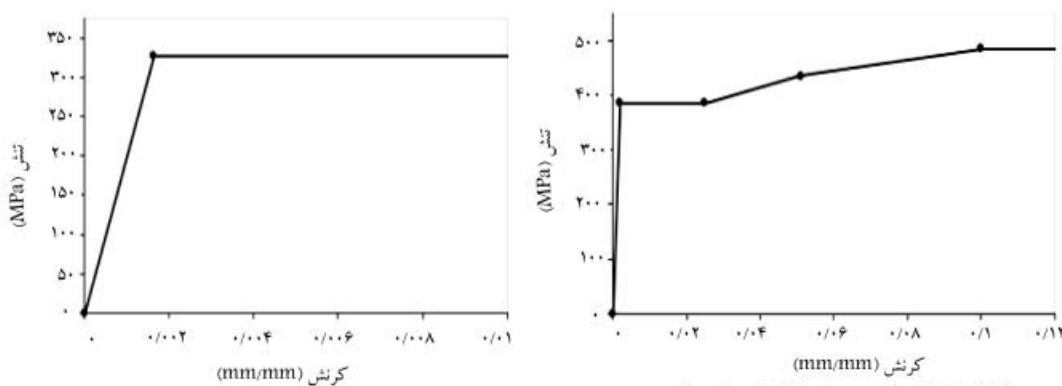
جدول ۲. مشخصات مدل‌های با بازشو.

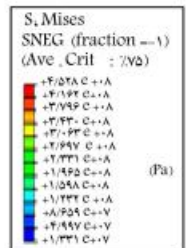
نام مدل	ضخامت ورق t_w (mm)	قطعه المان تقویتی قائم	طول بازشو L' (mm)	نام مدل	ضخامت ورق t_w (mm)	قطعه المان تقویتی قائم	طول بازشو L' (mm)	نام مدل	ضخامت ورق t_w (mm)	قطعه المان تقویتی قائم	طول بازشو L' (mm)	نام مدل
AS6-SL1	3/18	W ۱۴ × ۱۵۹	۱۵۰	AS6-SC3	3/18	W ۱۴ × ۱۵۹	۹۰	AS6-SL2	3/18	W ۱۴ × ۱۵۹	۱۸۰	AS6-SC4
AS6-SL2	3/18	W ۱۴ × ۱۵۹	۱۸۰	AS6-SC4	3/18	W ۱۴ × ۱۵۹	۱۲۰	AS6-SL3	3/18	W ۱۴ × ۱۵۹	۲۱۰	AS6-SC5
AS6-SL3	3/18	W ۱۴ × ۱۵۹	۲۱۰	AS6-SC5	3/18	W ۱۴ × ۱۵۹	۱۵۰	AS6-SL4	3/18	W ۱۴ × ۱۵۹	۲۴۰	AS6-SC6
AS6-SL4	3/18	W ۱۴ × ۱۵۹	۲۴۰	AS6-SC6	3/18	W ۱۴ × ۱۵۹	۱۸۰	AS6-SL5	3/18	W ۱۴ × ۱۵۹	۶۰	AS6-SL2
AS6-SL5	3/18	W ۱۴ × ۱۵۹	۶۰	AS6-SL2	3/18	AS3	۲۱۰	AS6-SR1	3/18	W ۱۴ × ۱۵۹	۶۰	AS3-SR2
AS6-SR6	3/18	W ۱۴ × ۱۵۹	۶۰	AS3-SR2	3/18	W ۱۴ × ۱۵۹	۲۴۰	AS6-SR1	3/18	W ۱۴ × ۱۵۹	۶۰	AS3-SL2
AS6-SR1	3/18	W ۱۴ × ۱۵۹	۶۰	AS3-SL2	3/18	AS3	۹۰	AS6-SR2	3/18	W ۱۴ × ۱۵۹	۶۰	AS3-SC2
AS6-SR2	3/18	W ۱۴ × ۱۵۹	۶۰	AS3-SC2	3/18	W ۱۴ × ۱۵۹	۱۲۰	AS6-SR3	3/18	W ۱۴ × ۱۵۹	۶۰	AS4-SL2
AS6-SR3	3/18	W ۱۴ × ۱۵۹	۶۰	AS4-SL2	3/18	AS4	۱۵۰	AS6-SR4	3/18	W ۱۴ × ۱۵۹	۶۰	AS4-SR2
AS6-SR4	3/18	W ۱۴ × ۱۵۹	۶۰	AS4-SR2	3/18	AS4	۱۸۰	AS6-SR5	3/18	W ۱۴ × ۱۵۹	۶۰	AS4-SLR2
AS6-SR5	3/18	W ۱۴ × ۱۵۹	۶۰	AS4-SLR2	3/18	AS4	۲۱۰	AS6-SR6	3/18	W ۱۴ × ۱۵۹	۶۰	AS4-SC2
AS6-SR6	3/18	W ۱۴ × ۱۵۹	۶۰	AS4-SC2	3/18	AS4	۲۴۰	AS6-SLR1	3/18	W ۱۴ × ۱۵۹	۶۰	AS5-SL2
AS6-SLR1	3/18	W ۱۴ × ۱۵۹	۶۰	AS5-SL2	3/18	AS5	۹۰	AS6-SLR2	3/18	W ۱۴ × ۱۵۹	۶۰	AS5-SR2
AS6-SLR2	3/18	W ۱۴ × ۱۵۹	۶۰	AS5-SR2	3/18	AS5	۱۲۰	AS6-SLR3	3/18	W ۱۴ × ۱۵۹	۶۰	AS5-SC2
AS6-SLR3	3/18	W ۱۴ × ۱۵۹	۶۰	AS5-SC2	3/18	AS5	۱۵۰	AS6-SLR4	3/18	W ۱۴ × ۱۵۹	۶۰	AS5-SLR2
AS6-SLR4	3/18	W ۱۴ × ۱۵۹	۶۰	AS5-SLR2	3/18	AS5	۱۸۰	AS6-SLR5	3/18	W ۱۴ × ۱۵۹	۶۰	AS5-SL2
AS6-SLR5	3/18	W ۱۴ × ۱۵۹	۶۰	AS5-SL2	3/18	AS5	۲۱۰	AS6-SLR6	3/18	W ۱۴ × ۱۵۹	۶۰	AS5-SR2
AS6-SLR6	3/18	W ۱۴ × ۱۵۹	۶۰	AS5-SR2	3/18	AS5	۲۴۰	AS6-SLR1	3/18	W ۱۴ × ۱۵۹	۶۰	AS5-SC2
AS6-SLR1	3/18	W ۱۴ × ۱۵۹	۶۰	AS5-SC2	3/18	AS5	۹۰	AS6-SLR2	3/18	W ۱۴ × ۱۵۹	۶۰	AS5-SLR2
AS6-SLR2	3/18	W ۱۴ × ۱۵۹	۶۰	AS5-SLR2	3/18	AS5	۱۲۰	AS6-SLR3	3/18	W ۱۴ × ۱۵۹	۶۰	AS5-SC2
AS6-SLR3	3/18	W ۱۴ × ۱۵۹	۶۰	AS5-SC2	3/18	AS5	۱۵۰	AS6-SLR4	3/18	W ۱۴ × ۱۵۹	۶۰	AS5-SLR2
AS6-SLR4	3/18	W ۱۴ × ۱۵۹	۶۰	AS5-SLR2	3/18	AS5	۱۸۰	AS6-SLR5	3/18	W ۱۴ × ۱۵۹	۶۰	AS5-SL2
AS6-SLR5	3/18	W ۱۴ × ۱۵۹	۶۰	AS5-SL2	3/18	AS5	۲۱۰	AS6-SLR6	3/18	W ۱۴ × ۱۵۹	۶۰	AS5-SR2
AS6-SLR6	3/18	W ۱۴ × ۱۵۹	۶۰	AS5-SR2	3/18	AS5	۲۴۰	AS6-SC1	3/18	W ۱۴ × ۱۵۹	۶۰	AS7-SC2
AS6-SC1	3/18	W ۱۴ × ۱۵۹	۶۰	AS7-SC2	3/18	AS7	۹۰	AS6-SC2	3/18	W ۱۴ × ۱۵۹	۶۰	AS7-SL2
AS6-SC2	3/18	W ۱۴ × ۱۵۹	۶۰	AS7-SL2	3/18	AS7	۱۲۰	AS6-SC3	3/18	W ۱۴ × ۱۵۹	۶۰	AS7-SR2
AS6-SC3	3/18	W ۱۴ × ۱۵۹	۶۰	AS7-SR2	3/18	AS7	۱۵۰	AS6-SC4	3/18	W ۱۴ × ۱۵۹	۶۰	AS7-SL2

* هندسه‌ی قاب و مقاطع تیر و ستون‌ها در مدل‌های با بازشو و مدل‌های اصلی نظریکسان است.

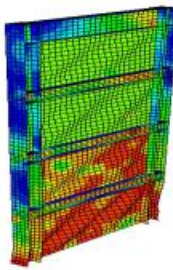
جدول ۳. جزئیات اتصال RBS برای مقاطع مختلف تیرها براساس آینه‌نامه‌ی [۴]. AISC ۲۵۸-۰۵

W ۲۴×۳۷۰	W ۲۴×۲۵۰	W ۱۴×۲۲۳	W ۱۴×۱۹۳	W ۱۴×۱۷۶	جزئیات اتصال (mm)
۱۷۵	۲۰۰	۲۲۰	۲۰۰	۲۰۰	a
۶۰۰	۵۵۰	۳۳۰	۳۰۰	۳۰۰	b
۸۵	۸۰	۱۰۰	۹۵	۹۵	c

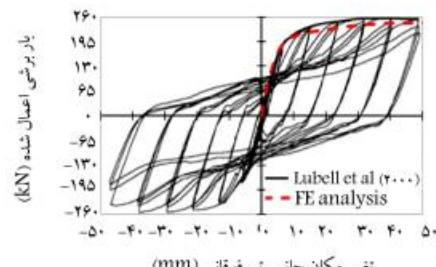
شکل ۲. منحنی‌های تنش - کرنش مصالح.^[۱۷]



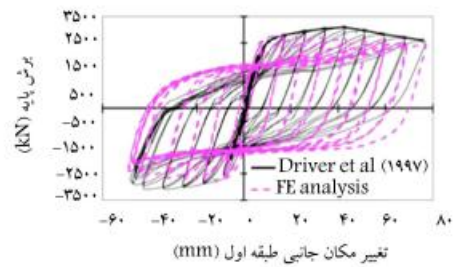
ب) توزع تنش فون میس در مدل المان محدود در حد نهایی باربری؛



د) توزع تنش فون میس در مدل المان محدود در جایجایی بیشنه.



تغییر مکان جانبی تیر فرمانی

الف) مقایسه نتایج مدلسازی عددی با نتایج نمونه آزمایشگاهی لول؛^[16]

تغییر مکان جانبی طبقه اول

ج) مقایسه نتایج تحلیل سیکلی با نتایج نمونه آزمایشگاهی درایور؛^[17]

شکل ۳. صحنه‌گذاری بر نتایج مدلسازی عددی.

یک تکیه‌گاه قائم برای تیرهای طبقات با بازشو عمل می‌کنند؛ و از این جهت، سبب تقویت تیرها و در نتیجه، تاحدی تقویت قاب می‌شوند. لازم به ذکر است که به دلیل امتداد بازشو در ارتفاع کامل طبقه، تیرهای طبقات خود در نقش المان تقویتی افقی برای بازشوها عمل می‌کنند و نیاز به المان تقویتی افقی اضافی نیست. لذا برخلاف بازشوها عامل می‌کنند و نیاز به المان تقویتی افقی اضافی نیست. در اینجا ستون‌ها مشارکت چندانی در تغییر سختی و مقاومت سیستم ندارند. بنابراین همان‌طور که قبل از نیز اشاره شده است، رفتار سیستم برای حالتی که بازشو در کل ارتفاع باتل امتداد دارد، در مقایسه با حالتی که بازشو فقط در بخشی از ارتفاع پاتل امتداد دارد، متفاوت خواهد بود.

در این بخش، رفتار مدل‌های با بازشو و بدون بازشو از نظر مقاومت، سختی اولیه، شکل‌پذیری، وجذب ازرسی با یکدیگر مقایسه شده است. در ابتدا، تأثیر طول و موقعیت بازشوها در مشخصه‌های رفتاری سیستم برای یک نسبت مشخص طول دهانه به ارتفاع طبقه برسی و سپس، تأثیر ورود بازشو به سیستم برای نسبت‌های مختلف طول دهانه به ارتفاع طبقه و الگوهای مختلف بازشو مطالعه شده است. در نهایت نیز تأثیر حضور بازشوها و المان‌های تقویتی پیامون آنها در میزان جذب ازرسی توسط سیستم بررسی شده است.

جدول ۴، خلاصه‌ی نتایج مدل‌های بدون بازشو را ارائه می‌کند. در قسمت‌های بعدی، نتایج مربوط به مدل‌های با بازشو با تقسیم بر مقدار نظیر در مدل‌های بدون بازشو به صورت بیان شده است.

۳.۱. بررسی اثر طول و موقعیت بازشو

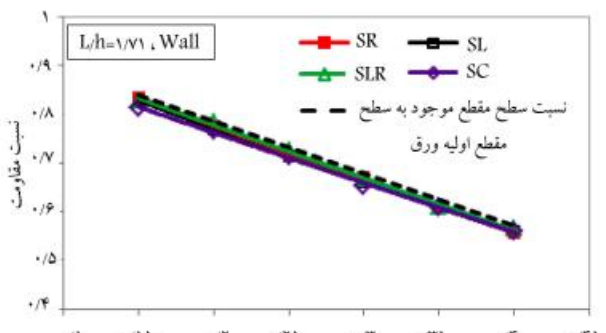
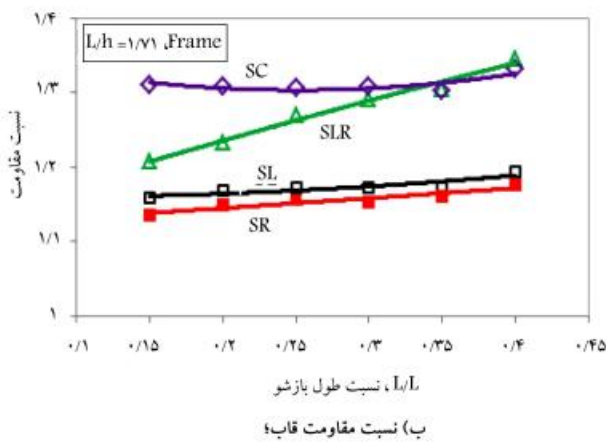
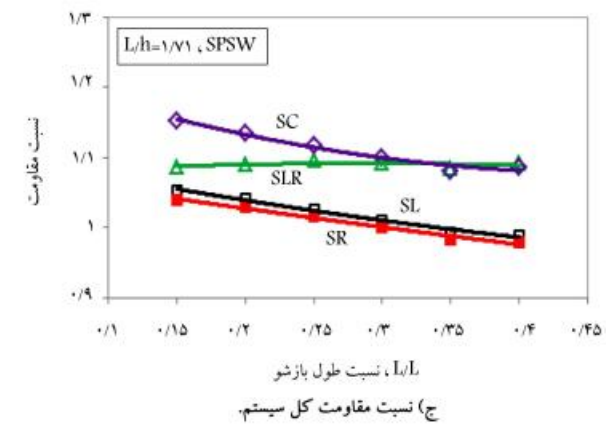
در این قسمت، تأثیر طول و موقعیت بازشوها در مقاومت نهایی، سختی اولیه و شکل‌پذیری دیوارهای برشی فولادی مورد بررسی قرار گرفته است. برای این منظور برای ۴ الگوی مختلف بازشو در یک سیستم دیوار برشی فولادی ($L/h = 1/21$)، طول بازشوها بین $0/9$ تا $2/4$ متر ($0/35, 0/30, 0/25, 0/20, 0/15$)، همانند با متغیر فرض شده است.

در آن، باید اثر تغییرشکل‌های اولیه در ورق در نظر گرفته شود. برای اطمینان از حصول نتایج رضایت‌بخش، در بعضی از مراجع، استفاده از تغییرشکل‌های اولیه‌یی که الگوی آن مطابق با مد اول کمانش و بیشینه‌ی مقدار آن متناسب با روش اجرا باشد، توصیه شده است.^[18] اگرچه در مورد صفحات نازک، اختیار الگو و مقدار بیشینه‌ی این تغییرشکل‌های اولیه اهمیت چندانی در نتایج ندارد.^[19] براین اساس، تغییرشکل اولیه‌یی مطابق با مد اول کمانش ورق با بیشینه‌ی مقدار ۱ میلی‌متر به مدل‌ها اعمال شده است. مطالعات مقدماتی انجام گرفته کفایت مقدار اختیارشده و عدم تأثیرگذاری آن در نتایج تحلیل‌ها را تأیید کرده است. بیشینه‌ی دریافت ۱۱ مجاز طبقات، با توجه به آین نامه‌ی ASCE ۷-۰۵^[15] برای با $2/5\%$ ارتفاع طبقه ممنظر شده است.

برای صحنه‌گذاری بر نتایج آنالیزهای پوش اور نمونه آزمایشگاهی یک طبقه‌یی لوبل (فقط مدل SPSW2^[16]) و برای صحنه‌گذاری بر نتایج آنالیزهای سیکلی، نمونه ۴ طبقه‌ی درایور^[17] در نرم افزار مدل‌سازی و تحلیل شده‌اند. شکل ۳، نتایج تحلیل‌های عددی و آزمایشگاهی را مقایسه می‌کند. همان‌طور که مشاهده می‌شود، نتایج حاکی از کنایت روش مدل‌سازی در پیش‌بینی رفتار پوش اور و سیکلی دیوار پرشی فولادی است.

۳. بحث و بررسی نتایج

براساس تحقیقات انجام شده،^[14] پیش‌بینی می‌شود، حضور بازشو و المان‌های تقویتی در سیستم می‌تواند مقاومت و سختی سیستم را تغییر دهد. در نتیجه‌یی حضور بازشوها، مقاومت و سختی ورق (با فرض ثابت ماندن ضخامت آن) به دلیل کاهش سطح مقطع ورق در تراز افقی کاهش می‌یابد، در حالی که به دلیل حضور المان‌های تقویتی قاتم اطراف بازشوها به مقاومت و سختی قاب افزوده می‌شود. در واقع، المان‌های تقویتی قاتم، علاوه بر کمک به توسعه‌ی کامل مقاومت کششی ورق و انتقال نیروهای ناشی از آن به المان‌های مرزی اطراف (تیر و ستون‌ها)، همانند با

الف) نسبت مقاومت ورق؛
بازشو، $L/h = 1/71$ ، Wallب) نسبت مقاومت قاب؛
بازشو، $L/h = 1/71$, Frameج) نسبت مقاومت کل سیستم؛
بازشو، $L/h = 1/71$, SPSW

شکل ۴. نسبت‌های مقاومت ورق، قاب و کل سیستم برای الگوهای مختلف مدل‌های بازشو به مدل‌های بدون بازشو نظری در مقابل نسبت‌های مختلف طول بازشو به طول دهانه.

ندارد و درنتیجه، علاوه بر المان‌های قائم، نیاز به استفاده از المان‌های تقویتی افقی نیز هست.^[1] موقعیت بازشو می‌تواند در رفتار سیستم‌های بازشو تأثیرگذار باشد.

۲.۱.۳. سختی اولیه و شکل‌پذیری

شکل‌های ۵ و ۶ به ترتیب نسبت سختی اولیه و شکل‌پذیری را در مدل‌های بازشو با نسبت طول دهانه به ارتفاع طبقه ثابت ($L/h = 1/71$) به مدل‌های بدون بازشو نظری، برای طول و الگوهای مختلف قرارگیری بازشو مقایسه می‌کند. سختی اولیه‌ی سیستم با محاسبه‌ی شبیه نمودار بار-چابه‌جایی در همان بارهای اولیه

جدول ۴. خلاصه‌ی نتایج مقاومت نهایی، سختی اولیه، و شکل‌پذیری مدل‌های بدون بازشو

نمای مدل	مقادیر نهایی (KN) (KN/mm)	سختی اولیه			نمای مدل
		کل سیستم	قاب	ورق	
۱۵۳	۴۷۴۶	۲۹۲,۴	۳۳۲۱	۱۴۲۵	۶,۲۹
۱۵۴	۵۵۹۱	۲۷۲,۳	۳۶۳۷	۱۹۶۰	۶,۸۲
۱۵۵	۶۸۸۵	۴۶۵,۴	۴۳۸۰	۲۵۰۵	۶,۹۷
۱۵۶	۹۵۸۷	۵۹۵,۱	۶۵۳۷	۳۰۵۰	۶,۳۸
۱۵۷	۱۲۶۳۲	۷۳۵,۷	۹۰۸۸	۳۵۴۴	۶,۰۲

۱.۱.۳. مقاومت نهایی

شکل ۴، نسبت‌های مقاومت نهایی ورق، قاب، و کل سیستم را در مدل‌های بازشو با نسبت طول دهانه به ارتفاع طبقه ثابت ($L/h = 1/71$) به مدل‌های بدون بازشو نظیر، برای نسبت‌های مختلف طول بازشو به طول دهانه ($L'/L = ۰,۱۵ - ۰,۴$) و الگوهای مختلف قرارگیری بازشو (SL، SLR، SR و SC) مقایسه می‌کند. مقاومت ورق از انتگرال‌گیری تنش‌های برشی در طول ورق در تراز تحتانی محاسبه شده و مقاومت نهایی قاب نیز از تفاضل سهم ورق از برش نهایی طبقه به دست آمده است. شکل ۴ الف نشان می‌دهد که با افزایش نسبت طول بازشو، مقاومت نهایی ورق برای الگوهای مختلف بازشو متناسب با نسبت کاهش در سطح مقطع ورق (خط‌چین ترسیم شده در شکل ۴ الف) کاهش یافته است. با توجه به شکل ۴ ب، همان‌طور که انتظار می‌رود، به دلیل حضور المان‌های تقویتی قائم، مقاومت قاب در سیستم بازشو همواره بزرگتر از سیستم بدون بازشو نظری است. به طور کلی، نسبت افزایش مقاومت قاب برای الگوهای SC و SLR به دلیل داشتن یک المان تقویتی قائم بیشتر نسبت به الگوهای SL و SR بزرگتر است. همچنین، برای محدوده‌ی انتخاب شده برای نسبت‌های طول بازشو به طول دهانه ($L'/L = ۰,۱۵ - ۰,۴$)، نسبت افزایش مقاومت در قاب برای الگوهای SL، SR و SC تقریباً مستقل از نسبت طول بازشو (یا موقعیت المان‌های تقویتی قائم) است، در حالی که برای الگوی SLR تأثیر طول بازشو (یا موقعیت المان‌های تقویتی قائم) در نسبت افزایش مقاومت قاب قابل توجه است، و با افزایش نسبی طول بازشو و در نتیجه، کاهش طول بخش میانی تبر در حد فاصل دو المان تقویتی قائم، مقاومت قاب نیز افزایش یافته است. بنابراین در مجموع، با افزایش نسبی طول بازشو، نسبت مقاومت کل سیستم (مجموع مقاومت ورق و قاب) برای الگوهای SL، SR و SC به صورت خطی کاهش یافته است، در حالی که نسبت مذکور برای الگوی SLR تقریباً بدون تغییر باقی مانده است (شکل ۴ ج). از شکل‌های ۴ الف الی ۴ ج همچنین می‌توان نتیجه گرفت که از حیث مقاومت، قرارگیری بازشو در میانه‌ی دهانه‌ی دیوار (الگوی SC) می‌تواند گزینه‌ی مناسبتری باشد، اگرچه در مقایسه با حالتی که بازشو فقط در یک سمت دیوار باشد (الگوهای SL و SR)، مزایای اقتصادی کمتری را دارد. به علاوه با توجه به نتایج، برای حالاتی که بازشو فقط در یک سمت دیوار است (الگوهای SL و SR)، از حیث مقاومت مزیت خاصی در قرارگیری بازشو در سمت چپ یا راست دیوار نسبت به هم وجود ندارد و مقاومت سیستم برای این دو الگو کم و بیش مشابه است. بررسی نتایج در این بخش همچنین حاکی از این نکته است که برخلاف حالتی که بازشو در کل ارتفاع طبقه امتداد

ورق در رفتار سیستم سختی اولیه و شکل پذیری مدل های با بازشو همواره کوچکتر از مدل های بدون بازشو نظری است. همان طور که از مطالعات پیشین می دانیم^[4] ورق منبع اصلی شکل پذیری در سیستم دیوار برشی فولادی است. بنابراین انتظار می رود با کاهش مشارکت ورق در رفتار کالی سیستم شکل پذیری سیستم نیز کاهش می یابد. شکل های ۵ و ۶ همچنین نشان می دهد که نسبت های سختی و شکل پذیری با افزایش نسبت طول بازشو به طول دهانه به صورت خطی کاهش می یابد. به علاوه با توجه به نتایج برای یک نسبت مشخص طول بازشو به طول دهانه، کمترین کاهش در سختی اولیه برای الگوی بازشو SLR و بیشترین کاهش در شکل پذیری سیستم ها برای الگوی بازشو SC اتفاق می افتد. البته برای یک نسبت مشخص طول بازشو به طول دهانه، پیشنهای درصد اختلاف بین نسبت های سختی یا شکل پذیری برای الگوهای مختلف به حدود ۱۰٪ محدود می شود.

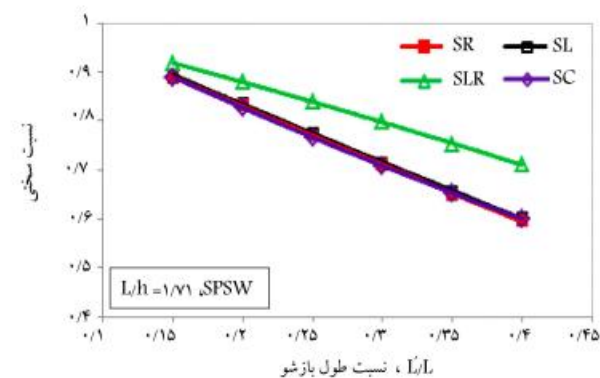
۲.۳. بررسی اثر نسبت طول دهانه به ارتفاع طبقه

در این بخش، تأثیر تغییرات نسبت طول دهانه به ارتفاع طبقه سیستم (L/h) بر نسبت های مقاومت، سختی و شکل پذیری مدل های با بازشو به مدل های بدون بازشو نظری مد نظر قرار گرفته است. برای این منظور سیستم های دیوار برشی فولادی با نسبت های متغیر طول دهانه به ارتفاع طبقه (۲-۲، $L'/L = ۰.۸۶$) مشتمل بر الگوهای مختلف بازشو و با یک نسبت مشخص طول بازشو به طول دهانه ($L'/L = ۰.۲$) در نظر گرفته شده است.

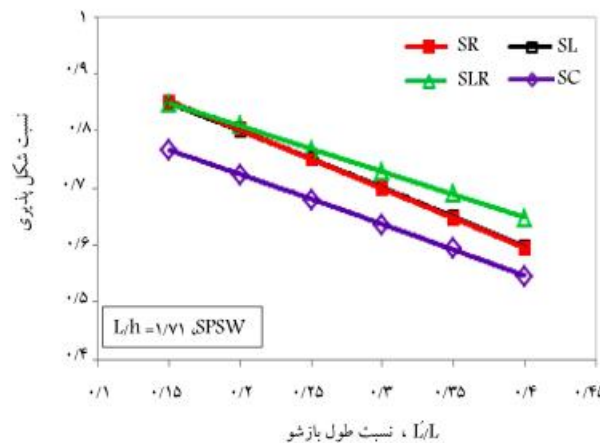
۲.۴. مقاومت نهایی

شکل ۸، نسبت های مقاومت نهایی ورق، قاب و کل سیستم را برای الگوهای مختلف بازشو و نسبت های مختلف طول دهانه به ارتفاع طبقه و با فرض یک نسبت ثابت طول بازشو به طول دهانه ($L'/L = ۰.۲$) مقایسه می کند. شکل ۸ نشان می دهد که برای یک نسبت ثابت طول بازشو به طول دهانه، مقاومت نسیجی ورق مستقل از موقعیت بازشو و نسبت طول دهانه به ارتفاع طبقه است. شکل ۸ همچنین نشان می دهد که توافق مناسبی بین کاهش نسبی در مقاومت ورق و نسبت کاهش در سطح مقطع ورق برقرار است و بنابراین، مقاومت نسیجی ورق در مدل های بازشو را می توان فقط براساس نسبت طول بازشو به طول دهانه و مستقل از هندسه و مشخصات هندسی اعضاء قاب (تیر، ستون و المان های مرزی) بیان کرد.

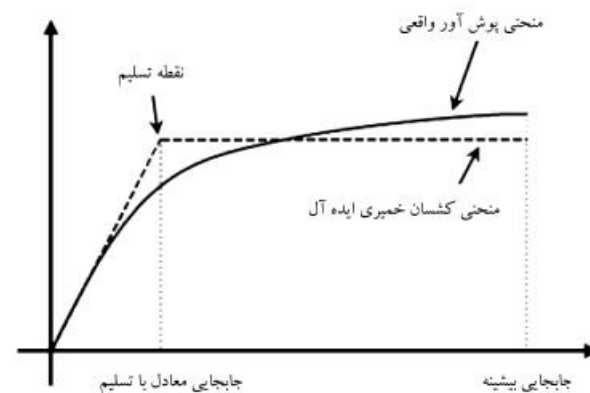
شکل ۸ ب نشان می دهد که به دلیل حضور المان های تقویتی قائم در اطراف بازشوها و نقش آنها در تقویت تیرهای طبقه، همان طور که انتظار می رود، مقاومت قاب در مدل های با بازشو همواره بزرگتر از مدل های بدون بازشو نظری است. البته در حالت کلی، نسبت افزایش مقاومت قاب در مدل های با بازشو می تواند تابع عوامل مختلفی نظری: هندسه‌ی قاب، مشخصات هندسی اعضاء قاب، و المان های تقویتی قائم، تعداد و موقعیت المان های تقویتی قائم در طول دهانه و اندرکشش بین ورق و اعضاء قاب باشد، که این موضوع پیش‌بینی و اظهار نظر در مورد میزان افزایش در مقاومت قاب را برای حالات مختلف تاحدی پیچیده می کند. با توجه به نتایج به دست آمده، تغییرات طول دهانه به ارتفاع طبقه می تواند تا حدود ۲۰٪ در مقاومت نسیجی قاب تأثیرگذار باشد. در اینجا نیز به دلیل حضور المان های تقویتی بیشتر، مقاومت قاب برای الگوهای SLR و به خصوص SC در مقایسه با الگوهای SL و SR افزایش بیشتری دارد. البته، پیشنهای اختلاف بین نسبت های مقاومت قاب برای الگوهای مختلف به حدود ۲۰٪ محدود



شکل ۵. نسبت سختی اولیه برای الگوهای مختلف مدل های با بازشو به مدل های بدون بازشو نظری در مقابل نسبت های مختلف طول بازشو به طول دهانه.

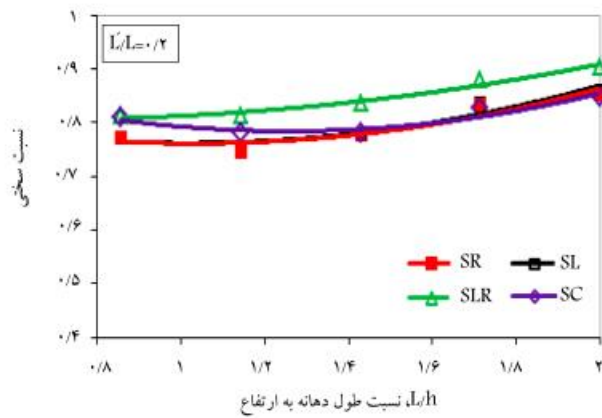


شکل ۶. نسبت شکل پذیری برای الگوهای مختلف مدل های با بازشو به مدل های بدون بازشو نظری در مقابل نسبت های مختلف طول بازشو به طول دهانه.

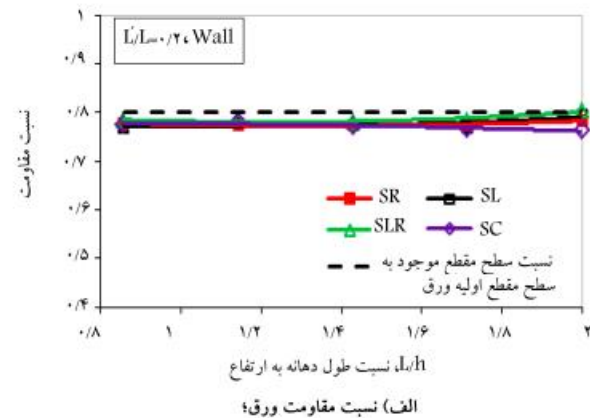


شکل ۷. معادل سازی منحنی رفتار و تعیین جایجاوی معادل با حد تسلیم.^[۶]

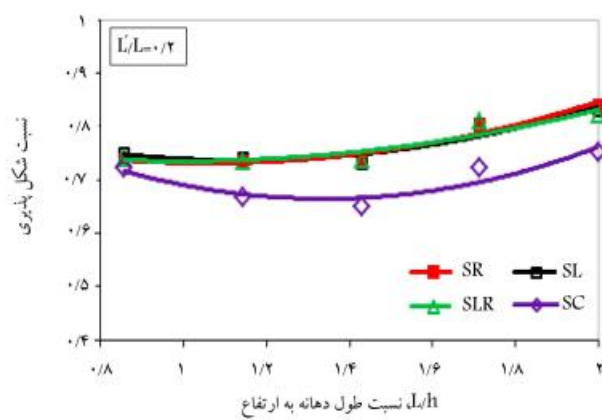
به دست آمده است. شکل پذیری مدل های نیز از تقسیم جایجاوی پیشنهای سیستم به جایجاوی حد تسلیم محاسبه شده است. جایجاوی پیشنهای برای با جایجاوی طبقه بام در لحظه‌ی وقوع دریفت ۲/۵٪ لحظه شده است. جایجاوی حد تسلیم نیز از طریق ترسیم منحنی کشسان خمیری ایده‌آل بر منحنی پوش رفتار سیستم، به طوری که سطح محصور شده توسط منحنی‌ها در دو حالت مساوی یکدیگر باشد، مشخص شده است (شکل ۷). همان‌طور که در شکل های ۵ و ۶ مشاهده می شود، به دلیل کاهش سطح مقطع ورق و در نتیجه کاهش مشارکت



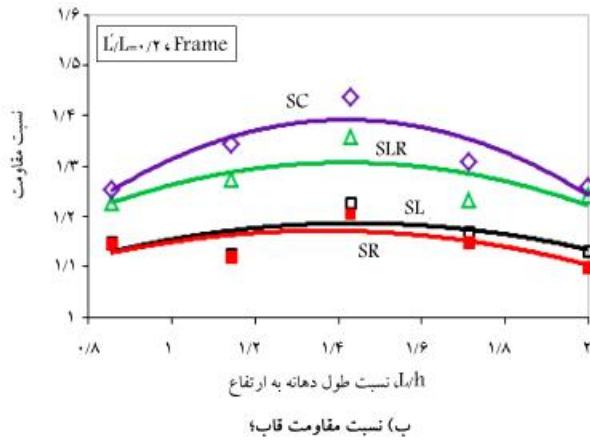
شکل ۹. نسبت سختی اولیه برای الگوهای مختلف مدل‌های با بازشو به مدل‌های بدون بازشو نظیر در مقابل نسبت‌های مختلف طول دهانه به ارتفاع طبقه.



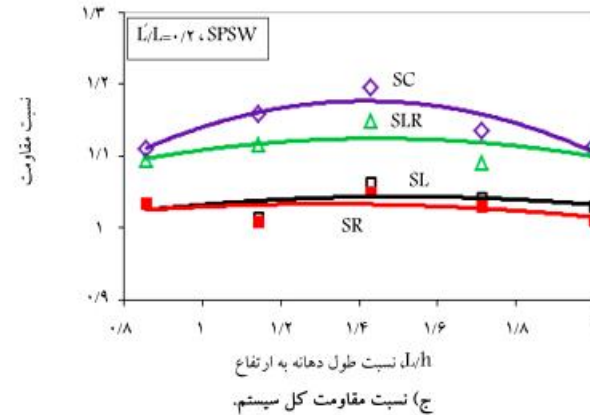
(الف) نسبت مقاومت ورق؛



شکل ۱۰. نسبت شکل‌بندی برای الگوهای مختلف مدل‌های با بازشو به مدل‌های بدون بازشو نظیر در مقابل نسبت‌های مختلف طول دهانه به ارتفاع طبقه.



(ب) نسبت مقاومت قاب؛



(ج) نسبت مقاومت کل سیستم؛

اختلاف بین نسبت‌های مقاومت برای الگوهای مختلف به حدود ۱۵٪ محدود می‌شود.

نتایج ارائه شده در شکل‌های ۸ ج تا ۱۰ ج همچنین تأیید می‌کند که در عمل، اختلاف چندانی بین نتایج برای الگوهای SL و SR در سیستم‌های مختلف وجود ندارد.

۲.۲.۳. سختی اولیه و شکل‌بندی

در شکل‌های ۹ و ۱۰، تأثیر ورود بازشو در سختی اولیه و شکل‌بندی سیستم برای الگوهای مختلف بازشو و نسبت‌های مختلف طول دهانه به ارتفاع طبقه و با فرض یک نسبت مشخص طول بازشو به طول دهانه ($L'/L_h = 0.2/L$) مقایسه شده است. نتایج نشان می‌دهد که بدليل ورود بازشو و کوچکترشدن سطح مقطع ورق و در نتیجه کمترشدن مشارکت آن در رفتار کلی سیستم، سختی و شکل‌بندی سیستم می‌تواند به ترتیب تا بیشینه‌ی ۲۵٪ و ۳۵٪ دچار آقت شود. به علاوه، مشخص است که نسبت‌های سختی و شکل‌بندی، چندان تحت تأثیر نسبت طول دهانه به ارتفاع طبقه و حتی الگوی قرارگیری بازشوها نیستند، با توجه به نتایج برای یک الگوی مشخص بازشو، با تغییر نسبت طول دهانه به ارتفاع طبقه، و بالعکس (یعنی برای یک نسبت مشخص طول دهانه به ارتفاع طبقه، با تغییرات نسبت سختی یا شکل‌بندی به کمتر از ۱۰٪ محدود می‌شود).

شکل ۸. نسبت‌های مقاومت ورق، قاب و کل سیستم برای الگوهای مختلف مدل‌های با بازشو به مدل‌های بدون بازشو نظیر در مقابل نسبت‌های مختلف طول دهانه به ارتفاع طبقه.

می‌شود. بنابراین، همان‌طور که در شکل ۸ ج نیز مشاهده می‌شود، مقاومت کل سیستم برای الگوهای SL و SR که یک عدد المان تقویتی قائم دارند، تغییر چندانی را نسبت به مدل‌های بدون بازشو نظیر نشان نمی‌دهد (به میزان بیشینه‌ی ۵٪ افزایش در مقاومت)، در حالی که برای الگوهای SLR و SC تا بیشینه‌ی ۲۰٪ افزایش در مقاومت کل سیستم مشاهده می‌شود. شکل ۸ ج همچنین نشان می‌دهد که برای یک الگوی بازشو به خصوص، با تغییر نسبت طول دهانه به ارتفاع طبقه تغییر چندانی در نسبت مقاومت سیستم مشاهده نمی‌شود (کمتر از ۱۰٪). همچنین، برای یک نسبت مشخص طول دهانه به ارتفاع طبقه نیز بیشینه‌ی

مدل بدون بازشو نظری به دست آمده است. همچنین مشابه با نتایج به دست آمده در بخش های پیشین، نتایج در این بخش تیز تأیید می کند که علاوه اختلاف چندانی در رفتار مدل های با بازشو با الگوهای SL یا SR تحت بارگذاری سیکلی وجود ندارد.

۴. نتیجه گیری

در این پژوهش، رفتار دیوارهای برشی فولادی یک طبقه با بازشو های مستطیلی تقویت شده با کاربری درب و پنجره با استفاده از روش المان محدود مطالعه شده است. جهت کاهش تعداد المان های تقویتی و صرفه ای اقتصادی پیشتر بازشو ها در کل ارتفاع دیوار فرض شده اند. همچنین اثر طول و موقعیت بازشو ها و تغییر نسبت طول دهانه به ارتفاع طبقه در رفتار سیستم های با بازشو مطالعه شده و رفتار سیستم های با بازشو از حيث مقاومت، سختی اولیه، شکل پذیری و جذب انرژی با مدل های بدون بازشو نظری مقایسه شده و نتایج نشان داده است.

برخلاف حالتی که ارتفاع بازشو محدود است و در نتیجه، علاوه بر المان های تقویتی قائم، نیاز به استفاده از المان های تقویتی افقی نیز هست^[۱] و موقعیت قرار گیری بازشو های تمام - ارتفاع می تواند در رفتار سیستم های با بازشو تقویت شده مؤثر باشد.

با افزایش طول بازشو تا ۴۰٪ طول دهانه، برای الگوهای بازشو SL و SR که فقط شامل یک المان تقویتی قائم هستند، تغییر چندانی در مقاومت سیستم مشاهده نمی شود، در حالی که برای الگوهای SLR و SC افزایش در مقاومت سیستم تاحدی برجسته تر است.

به دلیل رود بازشو و کاهش سطح مقطع ورق مقاومت ورق در سیستم های با بازشو همواره کوچکتر از سیستم های بدون بازشو نظری است. کاهش نسبی در مقاومت ورق متناسب با کاهش سطح مقطع ورق است. بنابراین، با افزایش متناسب ضخامت ورق انتظار می رود کاهش سطح مقطع ورق و در نتیجه کاهش مقاومت آن جبران شود.

به دلیل حضور المان های تقویتی، مقاومت قاب در سیستم های با بازشو همواره بزرگتر از سیستم های بدون بازشو نظری است. پیش بینی مقدار افزایش در مقاومت قاب پیچیده به نظر می رسد و در حالت کلی می تواند تابع تعداد و موقعیت المان های تقویتی قائم، هندسه و مشخصات هندسی اعضاء قاب و المان های تقویتی و اندرکنش قاب و ورق باشد.

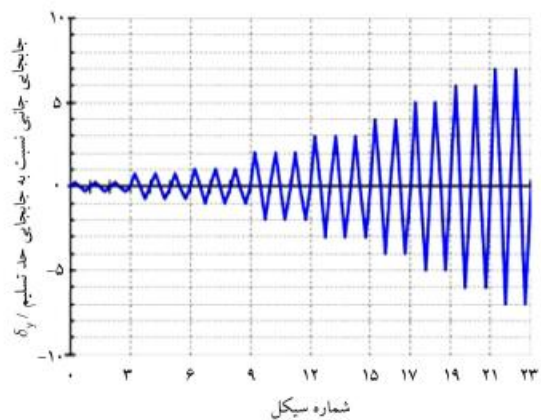
با افزایش نسبی طول بازشو، نسبت های سختی و شکل پذیری سیستم های با بازشو به سیستم های بدون بازشو نظری به صورت خطی کاهش می یابد. به طور کلی، برای یک نسبت مشخص طول بازشو به طول دهانه، کمترین کاهش در سختی برای الگوی SLR و پیشترین کاهش در شکل پذیری برای الگوی SC مشاهده شده است.

برای یک نسبت مشخص طول بازشو به طول دهانه، نسبت های مقاومت سختی و شکل پذیری سیستم های با بازشو به بدون بازشو به ترتیب تقریباً مستقل از نسبت طول دهانه به ارتفاع طبقه است. همچنین، با توجه به نتایج به دست آمده، برای یک نسبت مشخص طول دهانه به ارتفاع طبقه، پیشنهای اختلاف بین نتایج برای الگوهای مختلف بازشو به حدود ۱۵٪ در مورد نسبت مقاومت

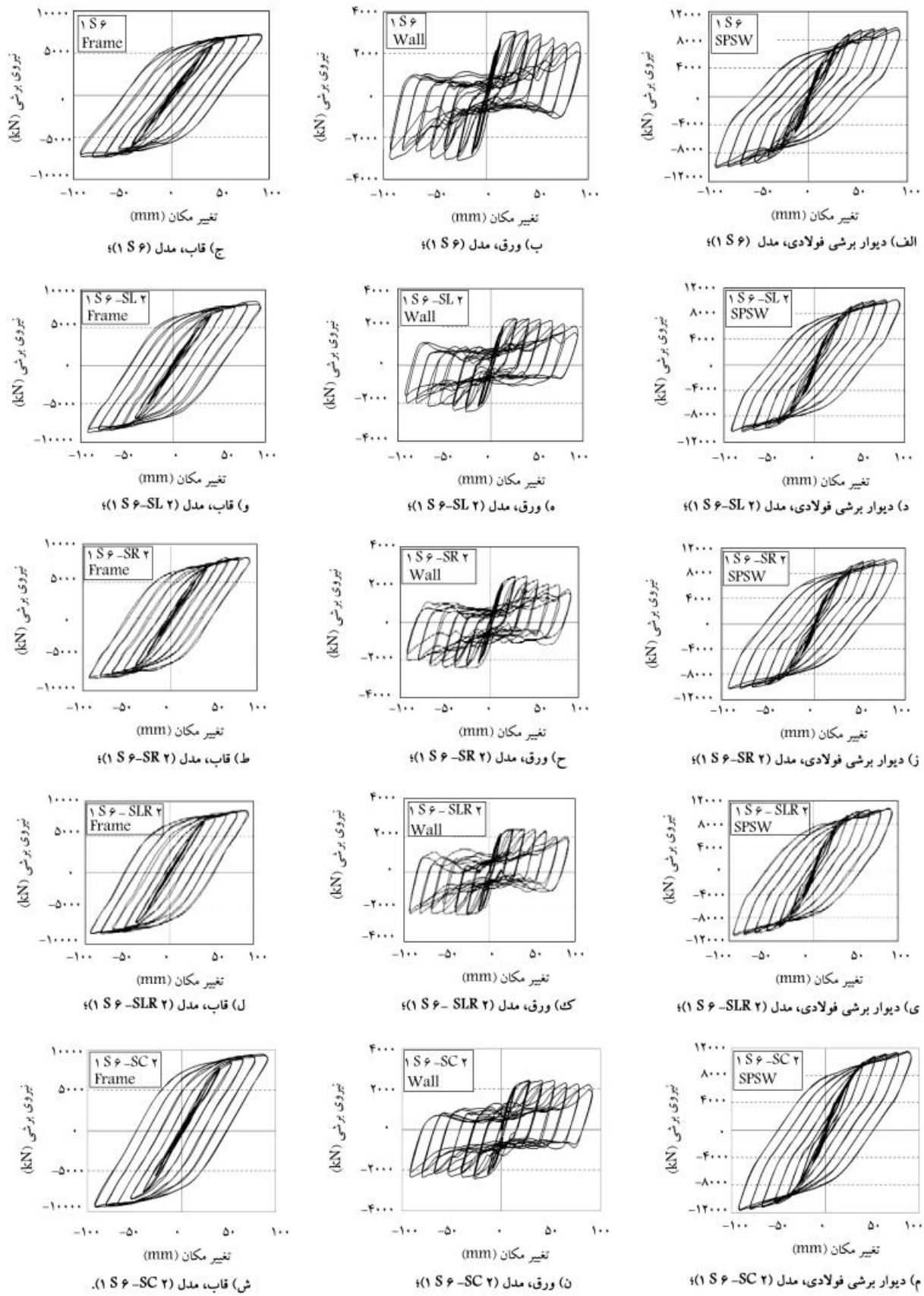
۳.۳. بررسی قابلیت استهلاک انرژی

در این بخش، به جهت مطالعه های بیشتر تأثیر بازشو ها در رفتار سیستم های دیوار بر بشی فولادی، قابلیت استهلاک انرژی در سیستم های با بازشو مطالعه، و با سیستم های بدون بازشو نظری مقایسه شده است. برای انجام مطالعات، نسبت طول بازشو به طول دهانه معادل با $\frac{L}{L'} = ۲$ و نسبت طول دهانه به ارتفاع طبقه نیز برابر با $\frac{h}{L} = ۱/۷۱$ فرض شده است. جابه جایی حد تسلیم (dy) که پارامتر اصلی در اعمال بارگذاری سیکلی است، با استفاده از نتایج تحلیل پوش اور تقریباً معادل با $۱۲/۵$ میلی متر برای مدل های با بازشو و بدون بازشو در نظر گرفته و تخمین زده شده است. براساس دستورالعمل ATC-۲۴^[۱۴] بارگذاری سیکلی با اعمال ۲۳ سیکل جابه جایی همان طور که در شکل ۱۱ مشاهده می شود، به تراز تیر فوقانی طبقه صورت می گیرد. با توجه به شکل ۱۱، ۶ سیکل ابتدایی مبتنی بر جابه جایی های کوچکتر از جابه جایی تسلیم (dy_۰) است و در سیکل های بعدی بارگذاری تا جابه جایی معادل با ۷ بارگذاری جابه جایی حد تسلیم (dy_۱) ادامه می یابد. به طور کلی با توجه به دستورالعمل ATC-۲۴^[۱۵] برای جابه جایی های کوچکتر یا مساوی با ۳ بارگذاری جابه جایی حد تسلیم (dy_۰)، ۳ سیکل بارگذاری، و برای جابه جایی های بزرگتر از آن، ۲ سیکل بارگذاری در نظر گرفته شده است.

شکل ۱۲، منحنی های هیسترزیس (کل سیستم، ورق، قاب) را در مدل های با بازشو و بدون بازشو مقایسه می کند. با توجه به شکل ۱۲، الگوی نسبتاً مشابهی برای منحنی های هیسترزیس ورق، قاب، و کل سیستم در مدل های با بازشو و بدون بازشو مشاهده می شود. البته به دلیل کاهش سطح مقطع ورق در اثر حضور بازشو، میزان جذب انرژی ورق در سیستم های با بازشو نسبت به سیستم بدون بازشو تا حدی کمتر به نظر می رسد (به ویژه در دو سیکل نهایی). در حالی که به دلیل حضور المان های تقویتی در لبه بازشو ها، جذب از انرژی قاب در مدل های با بازشو نسبتاً بیشتر است. همچنین شکل ۱۳، متوسط انرژی کل جذب شده توسط سیستم را در مدل های با بازشو و بدون بازشو برای سیکل های مختلف مقایسه می کند. شکل ۱۳ نشان می دهد که علی رغم وجود بازشو و کاهش سطح مقطع ورق به دلیل حضور المان های تقویتی، مدل های با بازشو، قابلیت استهلاک انرژی بالاتری نسبت به مدل بدون بازشو نظری در سیکل های مختلف دارند. به طور متوسط با توجه به نتایج به دست آمده در دو سیکل نهایی (سیکل های ۲۲ و ۲۳)، میزان جذب انرژی در مدل های با بازشو با الگوهای SL و SR در حدود ۱۴٪، و با الگوهای SLR و SC در حدود ۲۴٪ بزرگتر از



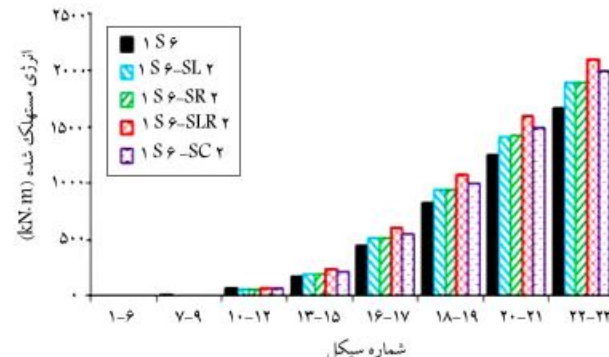
شکل ۱۱. تاریخچه جابه جایی سیکلی.



شکل ۱۲. منحنی های هیسترزیس سیستم های با بازشو و بدون بازشو.

کل، و به کمتر از ۱۰٪ در مورد نسبت‌های سختی اولیه و شکل‌بندی محدود می‌شود.

حضور بازشو و کاهش سطح مقطع ورق در نتیجه‌ی آن می‌تواند منجر به کاهش ظرفیت جذب انرژی ورق برویه در سیکل‌های بزرگ جایه‌جایی شود، در حالی که حضور المان‌های تقویتی اطراف بازشو ظرفیت جذب انرژی قاب را همواره افزایش می‌دهد. بنابراین در مجموع، ظرفیت جذب انرژی کل سیستم در اثر ورود بازشو می‌تواند کاهش با افزایش یابد، با توجه به نتایج بدست‌آمده می‌توان نتیجه گرفت که در صورتی که طول بازشو نسبت به طول دهانه قابل توجه باشد، ظرفیت جذب انرژی سیستم در اثر ورود بازشو می‌تواند با افزایش همراه باشد و یا دست‌کم بدون تغییر باقی بماند.



شکل ۱۳. مقایسه متوسط انرژی جذب شده توسط سیستم‌های با بازشو و بدون بازشو ($L/h = 1/71$ و $L/h = 0/21$) در سیکل‌های مختلف بارگذاری.

پانوشت‌ها

1. steel plate shear wall
2. reduced beam section
3. Isotropic
4. Bauschinger
5. pushover
6. Quasi-static cyclic
7. ABAQUS
8. shell
9. large deformation
10. geometrical nonlinearity
11. drift

(References) منابع

1. Canadian Standard Association, CSA-S16-01, *Limit State Design of Steel Structures*, Toronto, Ontario (2001).
2. Building Seismic Safety Council, 2003 NEHRP Recommended Provisions for Seismic Regulations for New Buildings and Other Structures (FEMA 450), Federal Emergency Management Agency (2004).
3. AISC, ANSI/AISC 341-05, *Seismic Provisions for Structural Steel Buildings*, Chicago (IL), American Institute of Steel Construction (2005).
4. AISC, *Steel Design Guide 20, Steel Plate Shear Walls*, Chicago (IL), American Institute of Steel Construction (2007).
5. Roberts, T.M. and Sabouri-Ghom, S. "Hysteretic characteristics of unstiffened perforated steel plate shear panels", *Thin-Walled Struct.*, **14**(2), pp. 139-151 (1992).
6. Vian, D. "Steel plate shear walls for seismic design and retrofit of building structures", PhD Dissertation, State Univ. of New York at Buffalo, Buffalo, N.Y. (2005).
7. Purba, R.H. "Design recommendations for perforated steel plate shear walls", M.Sc. Thesis, State Univ. of New York at Buffalo, Buffalo, N.Y. (2006).
8. Sabouri-Ghom, S., Ahouri, E., Sajadi, R., Alavi, M., Roufegarinejad, A. and Bradford, M.A. "Stiffness and strength degradation of steel shear walls having an arbitrarily-located opening", *Journal of Constructional Steel Research*, **79**, pp. 91-100 (2012).
9. Hosseinzadeh, S.A.A. and Tehranizadeh, M. "Introduction of stiffened large rectangular openings in steel plate shear walls", *Journal of Constructional Steel Research*, **77**, pp. 180-192 (2012).
10. AISC, ANSI/AISC 358-05, *Prequalified Connections for Special and Intermediate Steel Moment Frames for Seismic Applications*, Chicago (IL), American Institute of Steel Construction (2005).
11. ABAQUS/Standard Theory Manual, Version 6.5.1., Hibbit, Karlsson, Sorenson, Inc, (HKS) (2004).
12. Habashi, H.R. and Alinia, M.M. "Characteristics of the wall-frame interaction in steel plate shear walls", *J. Constr. Steel Res.*, **66**(2), pp. 150-158 (2010).
13. Wang, H. and Croll, J. "Optimization of shell buckling using lower bound capacities", *Thin-Walled Struct.*, **46**(7-9), pp. 1101-1120 (2008).
14. Brando, G. and De Matteis, G. "Experimental and numerical analysis of a multi-stiffened pure aluminium shear panel", *Thin-Walled Struct.*, **49**(10), pp. 1277-1287 (2011).
15. ASCE, SEI/ASCE 7-05, *Minimum Design Loads for Buildings and Other Structures*, Virginia (USA), American Society of Civil Engineers (2005).
16. Lubell, A.S., Prion, H.G.L., Ventura, C.E. and Rezai, M. "Unstiffened steel plate shear wall performance under cyclic loading", *J. Struct. Eng., ASCE*, **126**(4), pp. 453-460 (2000).
17. Driver, R.G., Kulak, G.L., Kennedy, D.J.L. and Elwi, A.E. "Cyclic test of four-story steel plate shear wall", *J. Struct. Eng., ASCE*, **124**(2), pp. 112-130 (1998).
18. ATC-24, *Guidelines of Cyclic Seismic Testing on Components for Steel Structures*, Redwood City, California, U.S.A., Applied Technology Council (1992).